# チービシ砂を用いた水分特性曲線のモデル化の提案およびその検証

琉球大学大学院 学生会員 〇桝田 一希 琉球大学 正会員 原 久夫 琉球大学 非会員 河野 真志

#### 1. はじめに

不飽和地盤は、豪雨などを起因とした地下水位上昇による浸透問題や強度低下問題をかかえている。これらの問題を解決するためには、土の保水性や浸透特性の評価が重要であり、保水性試験によって得られる水分特性曲線をもって評価することができる。著書らは、水分特性曲線の勾配とポテンシャルの関係 1)を実験から定めた。提案モデルによる水分特性曲線の計算結果と実験結果の比較検証を行った。

## 2. 実験方法

本実験で用いた試料は、豊浦砂ならびに沖縄県の海砂であるチービシ砂<sup>1)</sup>を用いた。本実験において、豊浦砂は 0.425mm でふるいにかけ、チービシ砂は 2mm のふるいにかけ粒径を調整した。供試体は、上記の試料を自由落下させ作成した。保水性試験は JGS(-0151)に従って行い、各段階の飽和度は、最終時の含水比と排吸水量から逆算して求めた。

変動係数

-0.09

### 3. 飽和度変化率とポテンシャルの関係式

水分特性曲線から飽和度変化率  $\Delta S_r/\Delta \varphi(=\alpha)$ を求める。図 1のように飽和度変化率とポテンシャル $\varphi$ の関係を表す。得られた曲線の近似曲線を次の仮定をもとに定める。飽和度変化率  $\Delta S_r/\Delta \varphi$  とポテンシャル $\varphi$  のグラフから曲線の頂点座標  $(\varphi_p, \alpha_p)$  と,二次関数が $\varphi_p \le \varphi \le 0$  の領域で  $\alpha(\varphi_0)=0$  となる点である限界ポテンシャル $(\varphi_0, 0)$ を得る。区間を $-\infty \le \varphi \le \varphi_p$ , $\varphi_p \le \varphi \le \varphi_0$ , $\varphi_0 \le \varphi \le 0$  の 3 区間に分ける。排水過程について

$$\left(\frac{\Delta S_{r}}{\Delta \varphi}\right) = \begin{pmatrix} 0 & (\varphi_{0} \leq \varphi) \\ A(\varphi - \varphi_{p})^{2} + \alpha_{p} & (\varphi_{p} \leq \varphi \leq \varphi_{0}) \\ B\exp\left[-C(\varphi - \varphi_{p})^{2}\right] & (\varphi \leq \varphi_{p}) \end{pmatrix}$$
(1)

をそれぞれ用いた。二次関数の境界条件は $(\varphi_0, 0)$ ,  $(\varphi_p, \alpha_p)$ を通り, $\frac{d}{d\varphi} \left( \frac{\Delta S_r}{\Delta \varphi} \right) = 0$ ,  $(\varphi = \varphi_p)$ である。これにより

係数 A が求められ二次関数が決定される。次に指数関数の境界条件は $(\varphi_p, \alpha_p)$ を通り、 $\infty \le \varphi \le 0$  領域の積分値は実験時の初期飽和度  $S_{ro}$  と排水時最終飽和度  $S_{re}$  の差

| 表-1 水分特性曲線特性値一覧 |        |      |                         |                      |                                 |                |                     |
|-----------------|--------|------|-------------------------|----------------------|---------------------------------|----------------|---------------------|
|                 |        |      | 係数A                     | φ~α関係のピーク座標          |                                 | 係数B            | 係数C                 |
|                 |        |      | $(\%/kPa^2)$            | $\varphi_{p}$ (kPa)  | $\alpha_{\rm p}~(\%/{\rm kPa})$ | (%/kPa)        | (kPa) <sup>-2</sup> |
| 豊浦砂             | 排<br>水 | 変動幅  | -2.39 <b>~</b> -1.70    | -4.0 <b>~</b> -3.8   | 22 <b>~</b> 26                  | 22 <b>~</b> 26 | 0.27~0.44           |
|                 |        | 平均値  | -1.99                   | -3.9                 | 23.67                           | 23.67          | 0.33                |
|                 |        | 変動係数 | -0.18                   | -0.03                | 0.09                            | 0.09           | 0.28                |
|                 | 吸<br>水 | 変動幅  | -10.67 <b>~</b> -4.53   | -2.4 <b>~</b> -1.5   | 24                              | 24             | 0.11~0.16           |
|                 |        | 平均値  | -7.07                   | -1.97                | 24                              | 24             | 0.14                |
|                 |        | 変動係数 | -0.45                   | -0.23                | 0                               | 0              | 0.18                |
| チー ビシ砂          | 排<br>水 | 変動幅  | -9.72 <b>~</b> -9.35    | 1.47                 | 20.2~21                         | 20.2~21        | 0.10~0.12           |
|                 |        | 平均値  | -9.52                   | 1.47                 | 20.57                           | 20.57          | 0.11                |
|                 |        | 変動係数 | -0.02                   | 0                    | 0.02                            | 0.02           | 0.09                |
|                 | 吸<br>水 | 変動幅  | -44.44 <b>~</b> - 37.50 | -0.80 <b>~</b> -0.75 | 24 <b>~</b> 25                  | 24 <b>~</b> 25 | 0.11~0.12           |
|                 |        | 平均値  | -40.34                  | -0.78                | 24.67                           | 24.67          | 0.11                |

-0.04

0.02

0.02

0.07

となる。また途中の飽和度は(2)式で表される。

$$S_{r} = \begin{pmatrix} S_{r0} - \int_{\varphi_{0}}^{0} \left( \frac{\Delta S_{r}}{\Delta \varphi} \right) d\varphi & (\varphi_{0} \leq \varphi \leq 0) \\ S_{r0} - \int_{\varphi_{p}}^{\varphi_{0}} \left( \frac{\Delta S_{r}}{\Delta \varphi} \right) d\varphi & (\varphi_{p} \leq \varphi \leq \varphi_{0}) \\ S_{r0} - I_{2} - \int_{\varphi_{e}}^{\varphi_{p}} \left( \frac{\Delta S_{r}}{\Delta \varphi} \right) d\varphi & (\varphi_{e} \leq \varphi \leq \varphi_{p}) \end{pmatrix}$$
(2)

(2)式より  $\varphi \leq \varphi_0, \varphi_p, \varphi_e$  における飽和度を求めることができる。

$$S_{r}(\varphi = \varphi_{0}) = S_{r0} \tag{3}$$

$$S_{r}(\varphi = \varphi_{p}) = S_{r0} - I_{2} \tag{4}$$

$$I_{2} = \int_{\varphi_{p}}^{\varphi_{0}} \left( \frac{\Delta S_{r}}{\Delta \varphi} \right)_{\text{His take this }} d\varphi \tag{5}$$

$$S_{\rm re} = S_{\rm r} (\varphi = \varphi_{\rm e}) = S_{\rm r0} - I_2 - I_1$$
 (6)

$$I_{1} = \int_{\varphi_{c}}^{\varphi_{p}} \left( \frac{\Delta S_{r}}{\Delta \varphi} \right)_{\text{fill: JK fills}} d\varphi \tag{7}$$

とした。これにより係数 B, C が求められ関数が導出される。吸水過程の飽和度変化率  $\Delta S_r/\Delta \phi$  もまた同様にして、吸水時の頂点座標  $(\varphi_p, \alpha_p)$  から導出する。

これらの関数を用い、排水過程では式(8)によって

$$S_{\rm r} = S_{\rm r0} - \int_{\varphi}^{0} \left( \frac{\Delta S_{\rm r}}{\Delta \varphi} \right)_{\rm W, x \, fe} d\varphi \tag{8}$$

水分特性曲線を求める。吸水過程では、排水過程の終了 段階( $\varphi=\varphi_e$ )での飽和度を吸水過程の初期飽和度( $S_{re}$ )とし、 (10)式によって水分特性曲線を求めた。

$$S_{\rm re} = \int_{\varphi_e}^0 \left( \frac{\Delta S_{\rm r}}{\Delta \varphi} \right)_{\# \, \text{th}} d\varphi \tag{9}$$

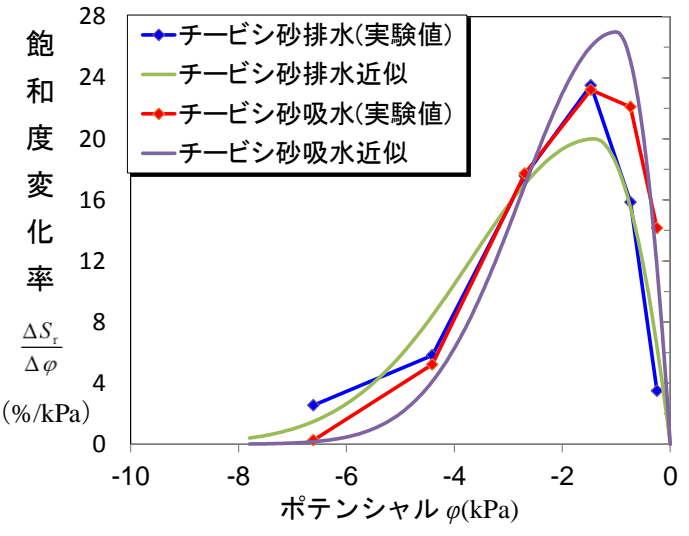


図-1 飽和度変化率とポテンシャルの関係

$$S_{\rm r} = S_{\rm re} + \int_{\varphi_e}^{\varphi} \left( \frac{\Delta S_{\rm r}}{\Delta \varphi} \right)_{\rm W, k f } d\varphi \tag{10}$$

豊浦砂,チービシ砂の実験値から得た各パラメータは, 表-1に示し,計算結果においては図1,2に示す。

#### 4. まとめ

今回は、水分特性曲線の実験値から飽和度変化率とポテンシャルの関係を求め、その曲線の近似曲線を用いて水分特性曲線の関数を導出し、実験値と比較を行った。

表-1より、係数 A、係数 C は他のパラメータに比べ変動 係数が大きい。さらに、係数 A では排水過程よりも吸水過 程の方がばらつく傾向にある。

図2において、チービシ砂および豊浦砂共に計算結果が 実験値をよく表している。しかし、図1より、排水過程 の頂点座標は実験値より小さく、吸水過程では大きくな っている。これにより、水分特性曲線の排水過程は実験 値に比べ少し小さく、吸水過程では実験値の最終飽和度 より大きくなっている。

### 参考文献

1) 桝田一希,原久夫:チービシ砂を用いた水分特性曲線の定式化に関する研究,平成24年度土木学会全国大会第67回 年次学術講演会プログラム,III-356,2012

